Nº FOTO EN ALBUM	Nº FOTO EN MAPA DE SITUACION	CARRETE	CLICHE	OBSERVACION
NUMERO 21	MUESTRA A6-496	Nº 2	19-21A	PANORAMICA, CRETACICO SUPERIOR
" 22	" A6-497	Nº 2	22-24A	PANORAMICA, MIOCENO SUPERIOR
" 23	" A6-498	Nº 3	5A	PUNTUAL, DISCORDANCIA
" 24	" A6-499	Nº 3	25-25A	PUNTUAL, DISCORDANCIA
" 25	" A6-500	Nº 2	27-27A	PUNTUAL, MIOCENO
" 26	" A6-501	Nº 2	18-18A	PUNTUAL, DETALLE
" 27	" A6-502	Nº 1	14A-17	PANORAMICA, MIOCENO
" 28	" A6-503	Nº 1	17-17A	PUNTUAL, VOLCANICO
" 29	" A6-504	Nº 1	16-16A	PUNTUAL, VOLCANICO
" 30	" A6-505	Nº 2	17-17A	PUNTUAL, VOLCANICO
" 31	" A6-506	Nº 4	30	MICROFOTO
" 32	" A6-507	Nº 4	34	MICROFOTO
" 33	" A6-508	Nº 4	29	MICROFOTO
" 34	" A6-509	Nº 3	33-35A	PANORAMICA, GLACIS
" 35	" A6-510	Nº 1	26-26A	PUNTUAL, TRAVERTINO
" 36	" A6-511	Nº 1	32A-33	PUNTUAL, TRAVERTINO
" 37	" A6-512	Nº 1	12-12A	PUNTUAL, TERRAZA

Nº FOTO EN ALBUM	Nº FOTO EN MAPA DE SITUACION	CARRETE	CLICHE	OBSERVACION
NUMERO 1	MUESTRA A6-476	Nº 1	12-12A	FOTO DE TRIASICO
" 2	" A6-477	Nº 4	28A-29	PUNTUAL, MUSCHELKA.K
" 3	" A6-478	Nº 1	14-14A	PUNTUAL, TRIASICO-CUATERNARIO
" 4	" A6-479	Nº 3	11-11A	PUNTUAL, ARENISCA TRIASICA
" 5	" A6-480	Nº 3	9-9A	PUNTUAL, ARENISCA TRIASICA
" 6	" A6-481	Nº 3	7-7A	PUNTUAL, ARENISCA TRIASICA
" 7	" A6-482	Nº 3	17A-18	PUNTUAL, ESTRUCTURA SEDIMENTARIA
" 8	" A6-483	Nº 3	18A-19	PUNTUAL, ESTRUCTURA SEDIMENTARIA
" 9	" A6-484	Nº 3	32-32A	PUNTUAL, FRACTURA. YESOS-DOLOMIAS
" 10	" A6-485	Nº 3	13-13A	PUNTUAL, DOLOMIAS Y YESOS
" 11	" A6-486	Nº 3	36-36A	PUNTUAL, SALINAS
" 12	" A6-487	Nº 3	37-37A	PUNTUAL, SALINAS
" 13	" A6-488	Nº 3	27-29A	PANORAMICA, TRIASICO
" 14	" A6-489	Nº 3	14-16A	PANORAMICA, DISCORDANCIA
" 15	" A6-490	Nº 2	10-11A	PANORAMICA, CRETACICO
" 16	" A6-491	Nº 2	15-15A	PUNTUAL, CRETACICO INFERIOR
" 17	" A6-492	Nº 2	5-5A	PUNTUAL, DISCORDANCIA
" 18	" A6-493	Nº 3	10-10A	PUNTUAL, CRETACICO
" 19	" A6-494	Nº 2	7-8	PANORAMICA, CRETACICO
" 20	" A6-495	Nº 2	0A-4A	PANORAMICA, CRETACICO

INTECSA - Internacional de Ingeniería y Estudios Técnicos, S. A. - MADRID

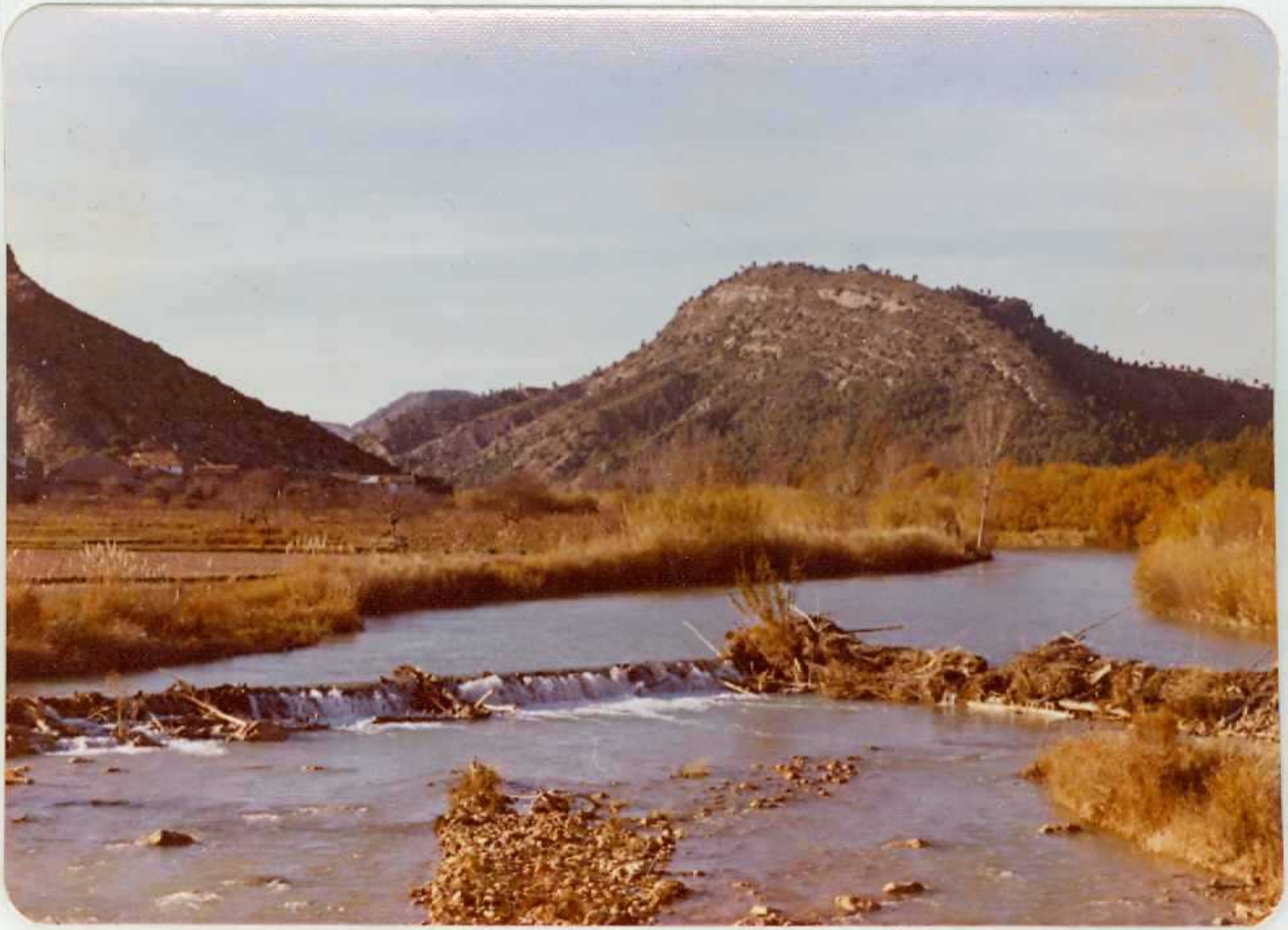


FOTO Nº 1.- FLANCO NORTE DEL ANTICLINORIO DEL RIO CABRIEL. AL FONDO SERIE TRIASICA INVERTIDA DEL CERRO DE LA NORIA.



FOTO Nº 10.- ASPECTO GENERAL DE LOS YESOS (T_{G3}) DE LAS FACIES KEUPER VALLE DEL CABRIEL.



FOTO Nº 11.- ASPECTO GENERAL DE LA EXPLOTACION DE SALES SODICO-POTASICAS DE LAS FACIES KEUPER.



FOTO Nº 12.- ASPECTO DE LAS SALINAS. PISCINAS DE EVAPORACION.



FOTO Nº 13.- ASPECTO GENERAL DE LOS TRAMOS ARCILLOSOS ROJIZOS (T_{G3}^{a}) Y ARCILLO-ARENISCOSOS (T_{G3}^{as}) DE LAS FACIES KEUPER. CUBRIENDO ESTOS DEPOSITOS SE OBSERVA LA CALIZA TRAVERTINICA (QT_r) DE LA MARGEN DERECHA DEL RIO CABRIEL, DEFORMADA POR TECTONICA TRIASICA.



FOTO Nº 14.- DETALLE DE LAS DEFORMACIONES DEL TRIASICO Y SUS REPERCUSIONES EN LOS DEPOSITOS RECIENTES. EJEMPLO DE UNA TERRAZA DEL RIO CABRIEL FRACTURADA Y DEFORMADA.



FOTO Nº 15.- HOZ DEL JUCAR. SERIE CRETACICA DEL CASTILLO DE CHIREL, A LA DERECHA CONTACTO ALBIENSE-CENOMANIENSE INF. CON TRIASICO.
EL CASTILLO SE APOYA SOBRE LAS CALIZAS DE LACAZINA DEL SANTONIENSE.



FOTO Nº 16.- ANTICLINAL TUMBADO DEL APTIENSE (C_{15}) . BORDE MERIDIONAL DE LA ESTRUCTURA "UNIDAD MARTES-DOS AGUAS". EL CAMINO SE ENCUENTRA SITUADO SOBRE ALBIENSE INFERIOR. (C_{16})



FOTO Nº 17.- CONTACTO DISCORDANTE DE LOS CONGLOMERADOS MIOCENOS (T^{Bc2-B}_{cga}) Y EL CENOMANIENSE INFERIOR (C^{12}_{21}) . EL CAMINO INDICA EL NIVEL DE MARGA LIMOLITICA VERDE (C^{12-2}) (BARRANCO DEL ORO).



FOTO Nº,18.- CORTES DE PALLAS. CRETACICO SUPERIOR DE LA HOZ DEL JUCAR. DESDE EL PUEBLO Y EN VERTICAL CALIZA DE LACAZINA DEL SANTONIENSE (C_{24}) . EL LECHO DEL RIO DISCURRE SOBRE EL TRAMO DOLOMITICO. (C_{21-23}^{23-0})



FOTO Nº 19.- VISTA PANORAMICA DE LA SIERRA MARTES, Y EXTREMIDAD ORIENTAL DE LA MUELA DE ARBEITAR, ENTRE AMBAS DEPRESION DE VENTA--GAETA-LOS HERREROS, RELLENADA POR DEPOSITOS PALEOGENOS.

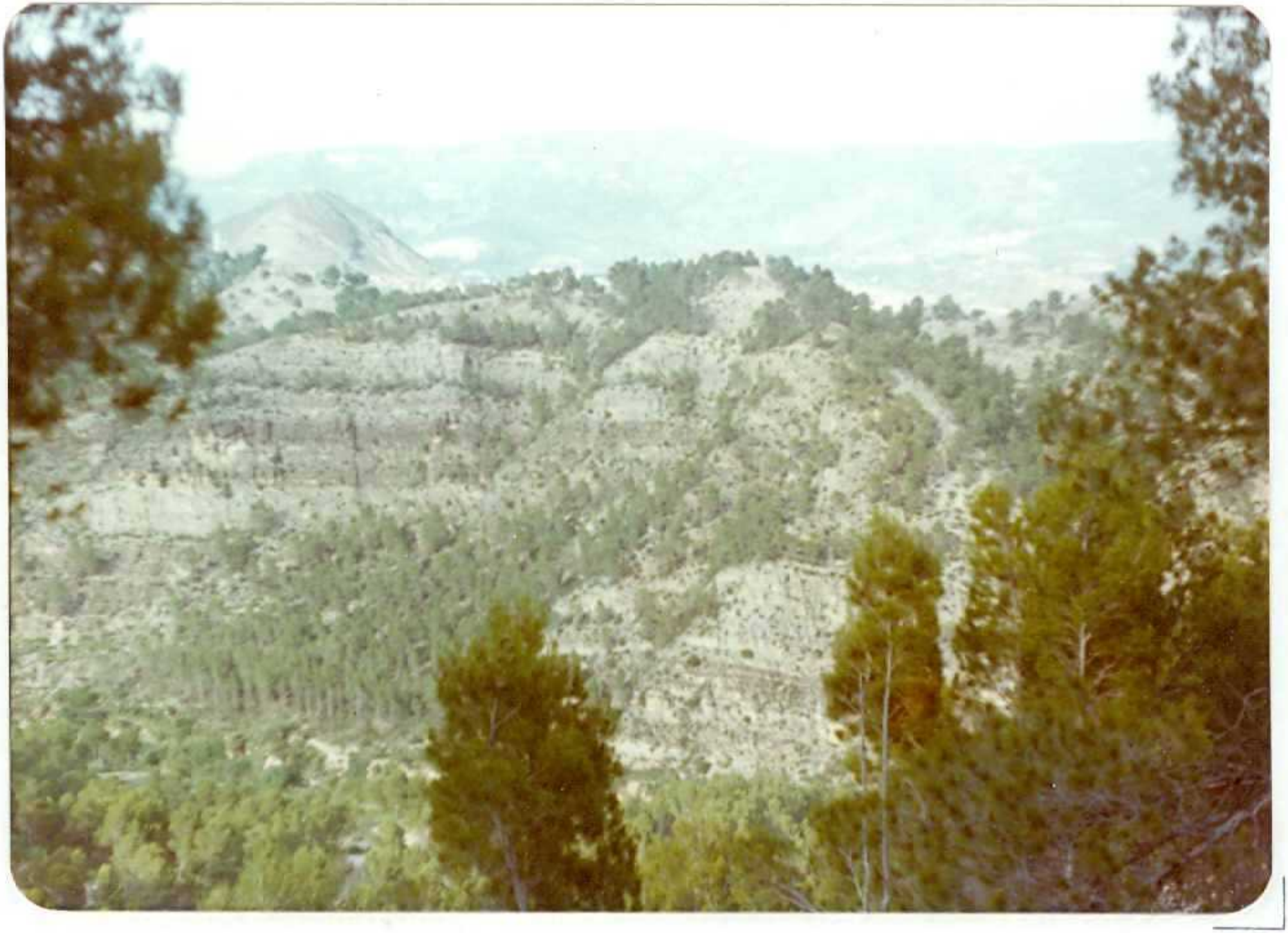


FOTO Nº 2.- DOLOMIAS Y CALIZAS DOLOMITICAS DEL MUSCHELKALK (T_{G2}) EN LAS PROXIMIDADES DE LA LOCALIDAD DE JALANCE.



FOTO Nº 20.- VISTA PANORAMICA DE LA ESTRUCTURA MERIDIONAL DE SIERRA MARTES. SERIE CRETACICA DE SIERRA MARTES, VISTA DESDE EL CERRO DE LOS ANGELES.



FOTO Nº 21.- ANTICLINAL SIMETRICO EN DOLOMIAS Y CALIZAS DEL CRETACICO SUPERIOR. BORDE OCCIDENTAL DE LA MUELA DE ARBEITAR. EN PRIMER TERMINO LA LOCALIDAD DE CASTIL-BLANQUES SOBRE LOS DEPOSITOS DETRITICOS DEL MIOCENO SUPERIOR. ($T^{8c2}_{cg\ C12}$)



FOTO Nº 22.- VISTA PANORAMICA DE LA SERIE DEL MIOCENO SUPERIOR, EN LA CARRETERA NACIONAL DE ALMANSA-REQUERA. ($T^{Bc2}_{cg\ C12}$) y ($T^{Bc2-B}_{cm\ C12-21}$)



FOTO Nº 23.- DISCORDANCIA DEL MIOCENO SUPERIOR-PLIOCENO (CONGLOMERADOS) CON EL CRETACICO (CENOMANIENSE INFERIOR). LUGAR PROXIMO A LA LOCALIDAD DEL ORO.



FOTO Nº 24.- DISCORDANCIA MIOCENO SUPERIOR-TRIASICO. CARRETERA ALMANSA-REQUENA.



FOTO Nº 25.- DEPOSITOS BASALES DEL MIOCENO SUPERIOR ($T^{Bc\,2}_{cg\,C12}$) . DETALLE DE LA DESPOSICION EN PALEOCANALES. CONGLOMERADOS, ARENISCAS Y ARCILLAS. CARRETERA DE ALMANSA A REQUENA.



FOTO Nº 26.- DETALLE DE LOS CONGLOMERADOS DEL MIOCENO SUPERIOR (T^{Bc2}_{C12}) EN LAS PROXIMIDADES DE LA LOCALIDAD DE CASTIL-BLANQUES. OBSERVESE LA MATRIZ ARENOSA, ENGLOBANDO CANTOS HEREDADOS DEL CRETACICO Y CUARZOS HEMATOIDEOS DEL TRIASICO SUPERIOR.



FOTO Nº 27.- VISTA PANORAMICA DE LA "UNIDAD DETRITICA INFERIOR" (T^{8c2-8}_{C12-2}) EN LA HOZ DEL JUCAR. ESCARPES DE MAS DE 100 m. DE DESNIVEL. SON CONGLOMERADOS BRECHOIDES DE MATRIZ ARCILLOSA Y CANTOS DE CALIZAS Y DOLOMIAS, ANGULOSOS, DEL CRETACICO.



FOTO Nº 28.- LOCALIDAD DE COFRENTES, EL CASTILLO SE ENCUENTRA SUTUADO SOBRE ROCAS VOLCANICAS CONGLOMERATICAS DE TIPO EXPLOSIVO. ($^{oo}_{v}\beta^{8}_{0}$)



FOTO Nº 29.- ROCAS BASALTICAS DE CERRO AGRAS, CUBRIENDO Y CORTANDO DEPOSITOS DETRITICOS RECIENTES.

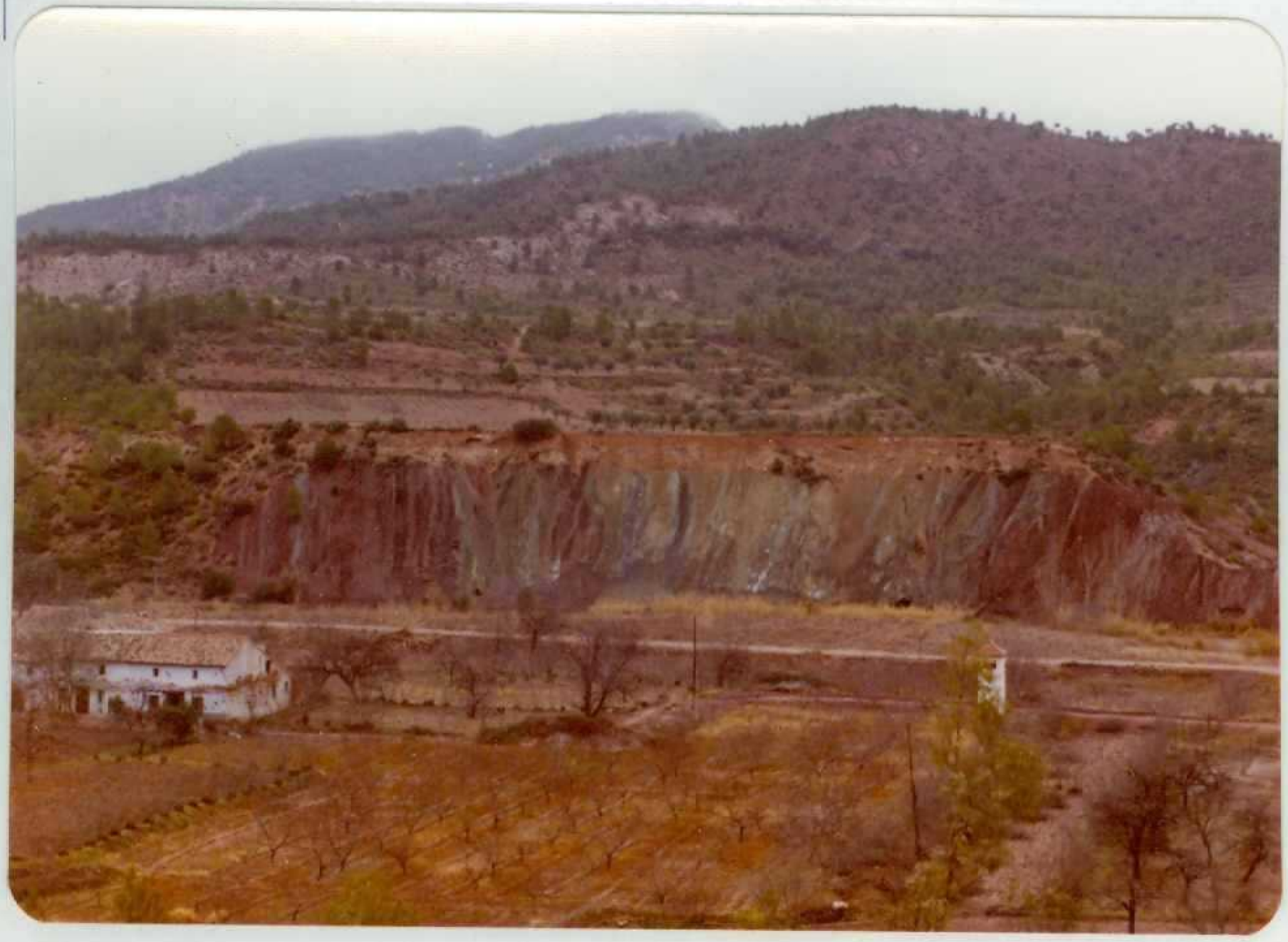


FOTO Nº 3.- YESOS Y ARCILLAS ROJAS DE LAS FACIES KEUPER (T_{G3}) CUBIERTAS POR DEPOSITOS DE TERRAZAS DEL RIO CABRIEL.



FOTO Nº 30.- DETALLE DE LAS ROCAS AGLOMERATICAS DEL CASTILLO DE COFRENTES. ($_{v}^{oa}\beta_{0}^{8}$)

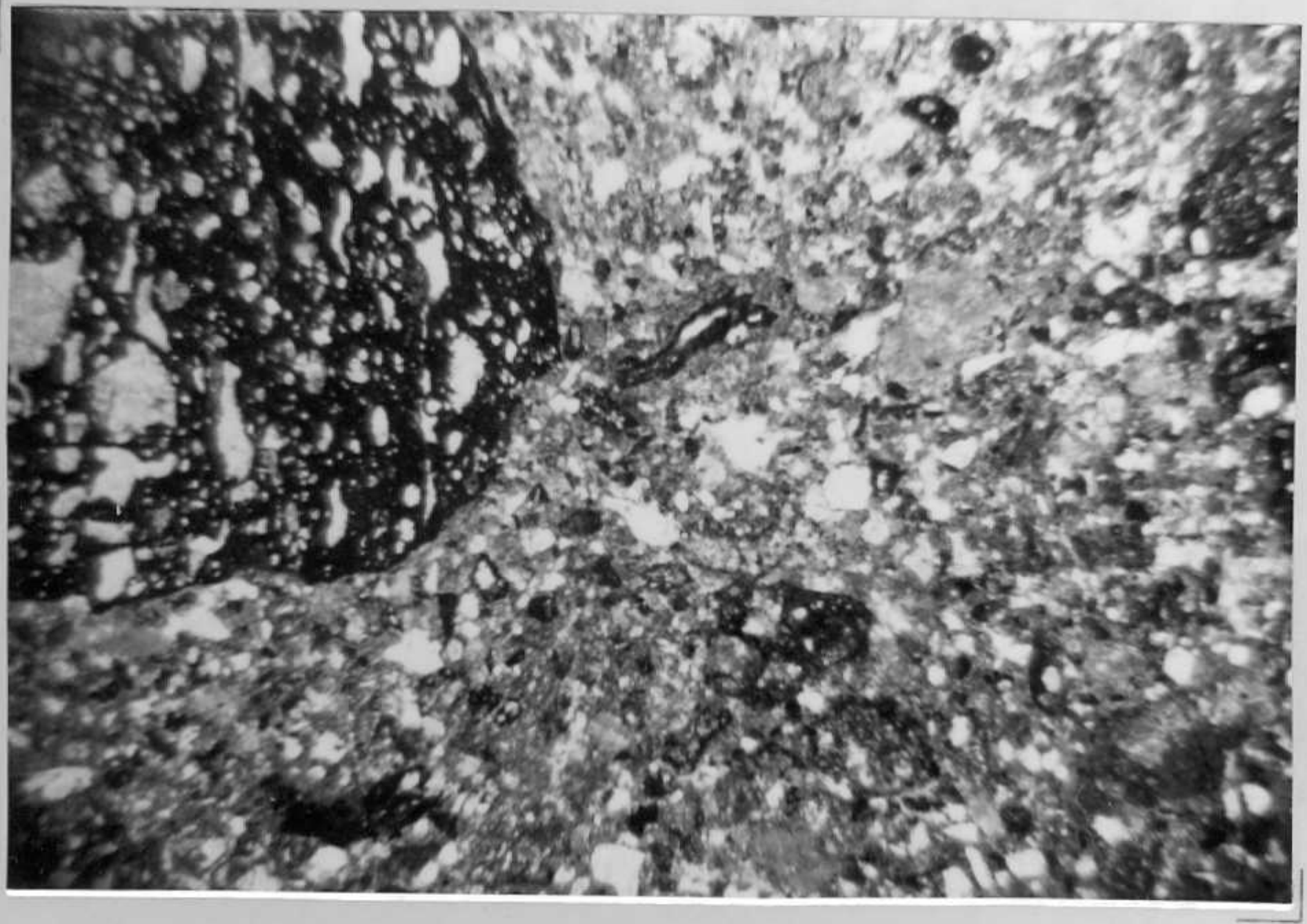


FOTO N° 31.- MICROFOTO DE LA ROCA ANTERIOR DONDE SE PUEDE OBSERVAR UNA TEXTURA AGLOMERATICA DE MATRIZ VITREA CON CRISTALES GRUESOS Y ANGULOSOS DE CUARZO Y FELDESPATO LA MAYOR PARTE.

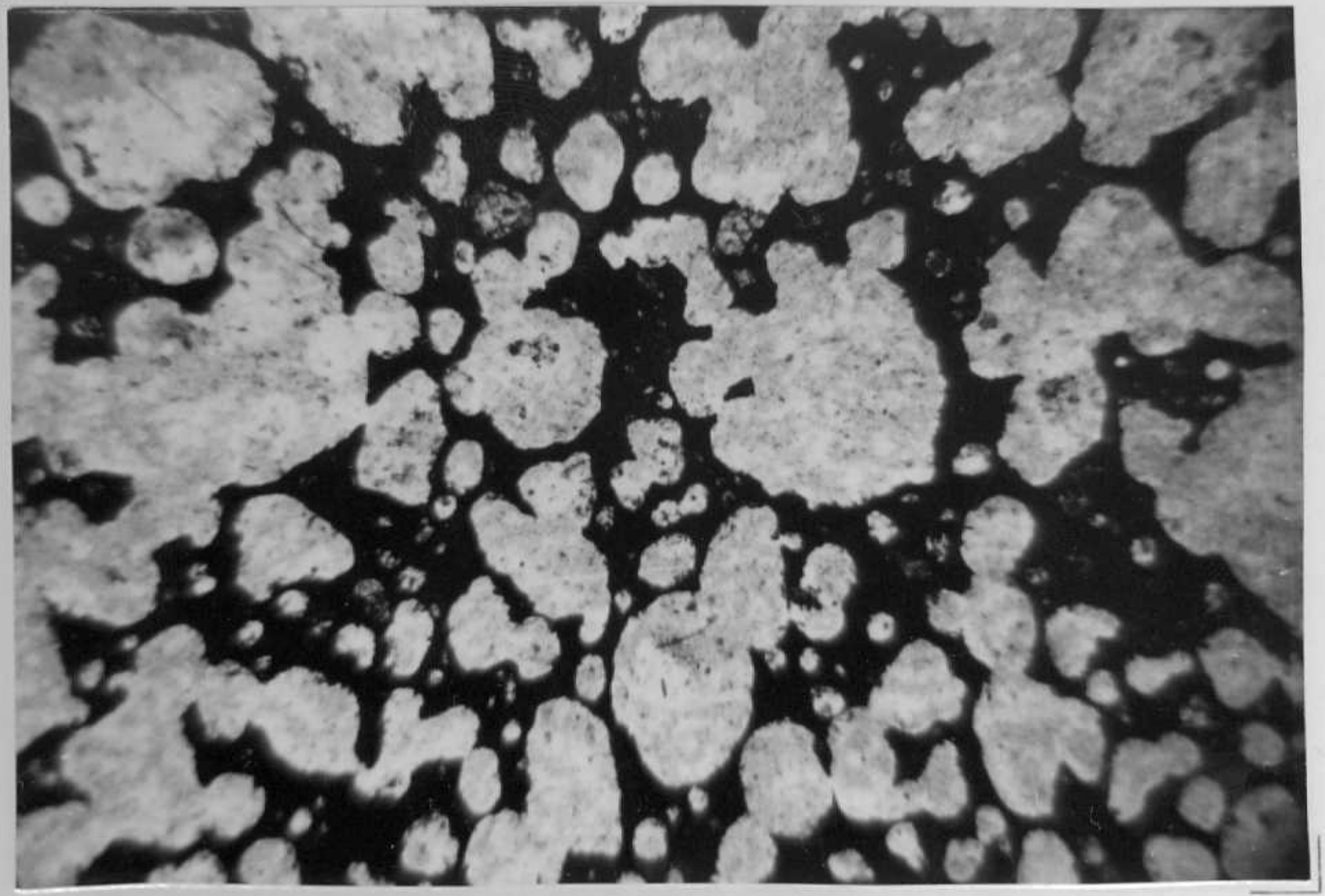


FOTO N^{O} 32.- ASPECTO MICROTEXTURAL DE LOS BASALTOS OLIVINICOS DE CERRO AGRAS. ($^{oa}_{v}\beta^{8}_{0}$)

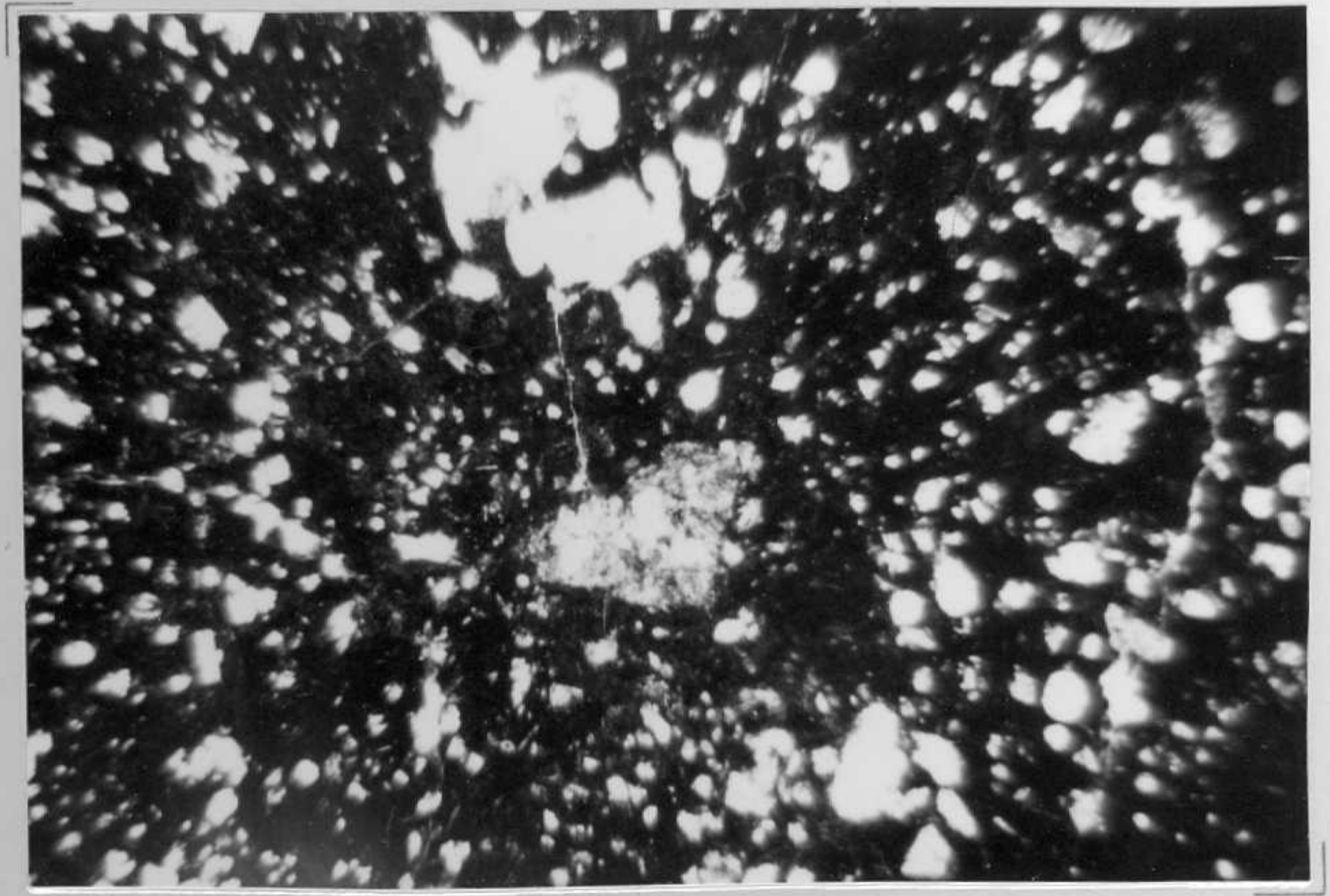


FOTO N^{O} 33.- OTRO ASPECTO DE LOS BASALTOS OLIVINICOS DEL CERRO AGRAS.



FOTO Nº 34.- VISTA PANORAMICA DE LOS DEPOSITOS DE GLACIS (Q_1 G) SOBRE LAS FACIES KEUPER (T_{G3}) EN ZONA PROXIMA A LAS SALINAS DE COFRENTES.



FOTO Nº 35.- CALIZA TRAVERTINICA (QT_r) SOBRE LOS DEPOSITOS ARCILLO-ARENISCOSOS (T_{G3}^{as}) DE LAS FACIES KEUPER, EN LAS PROXIMIDADES DE LA LOCALIDAD DE CASAS DEL RIO.



FOTO Nº 36.- DETALLE DE DICHOS DEPOSITOS. (QTr)



FOTO Nº 37.- TERRAZAS (Q_1T) DEL RIO CABRIEL, MOVIDAS POR LA TECTONICA DE YESOS. LUGAR SITUADO A UNOS 6 Kms. DE LA LOCALIDAD DE COFRENTES.

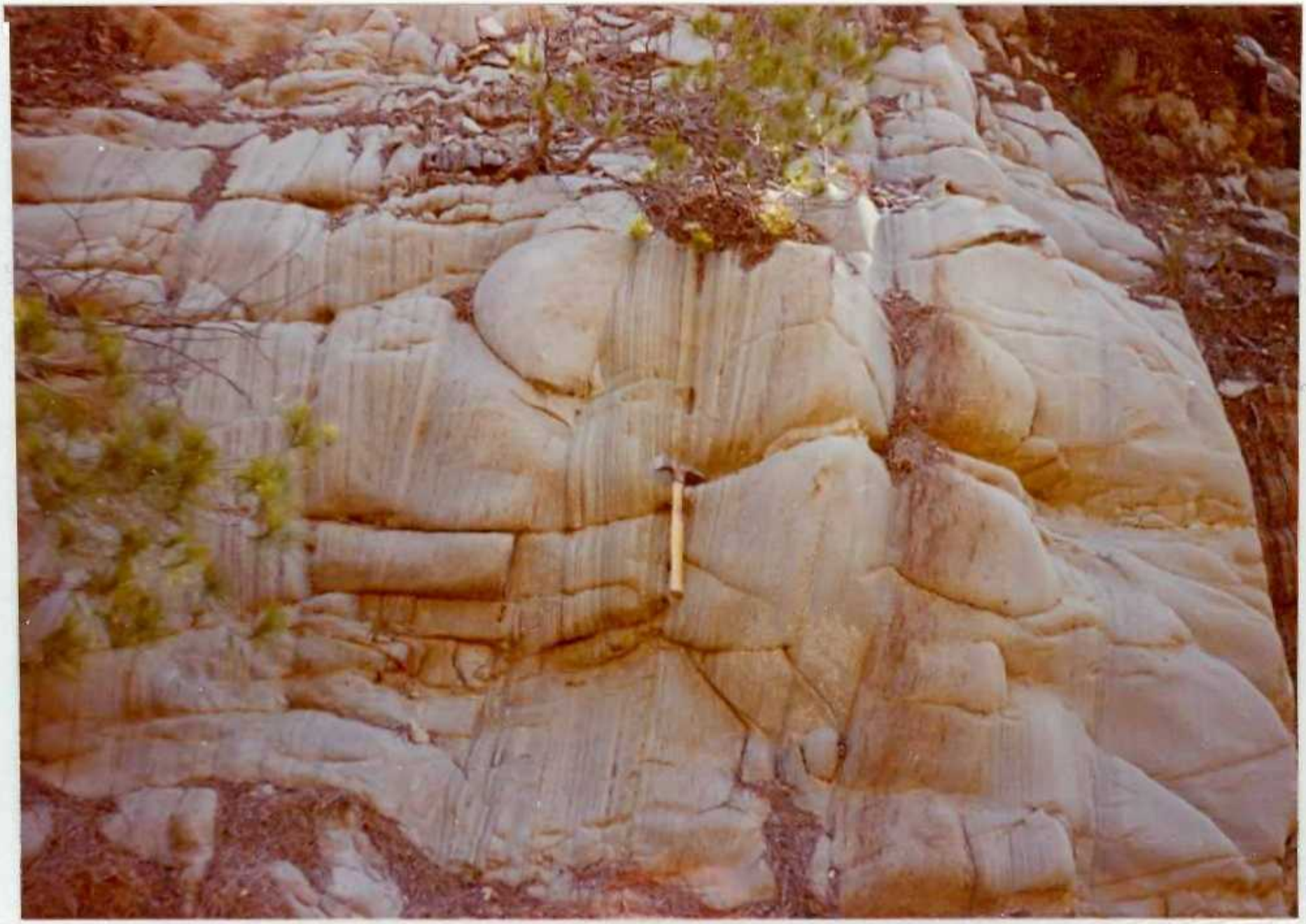


FOTO Nº 4.- GRUESOS BANCOS DE ARENISCAS (T_{G3}^{s}) INTERCALADAS EN EL TRAMO DE ARENISCAS Y ARCILLAS (T_{G3}^{as}) DE LAS FACIES KEUPER. DETALLE DE LA ESTRATIFICACION CRUZADA.



FOTO Nº 5.- MICROFRACTURACION EN LOS NIVELES DE ARENISCAS (T_{G3}^{s}) DE LAS FACIES KEUPER. ESTRATIFICACION VERTICAL. EL TECHO SE SITUA A LA IZQUIERDA DE LA FOTO.



FOTO Nº 6.- ASPECTO SUPERFICIAL DE LAS ARENISCAS (T_{G3}^{s}) INTERCALADAS EN LAS FACIES KEUPER.



FOTO Nº 7.- DETALLE DE ESTRATIFICACION CRUZADA EN ARENISCAS (T_{G3^s}) DE LAS FACIES KEUPER. SERIE INVERTIDA DEL CERRO DE LA NORIA.



FOTO Nº 8.- PALEOCANAL EN ARENISCAS DE LAS FACIES KEUPER. SERIE INVERTIDA DEL CERRO DE LA NORIA.



FOTO Nº 9.- CONTACTO MECANIZADO ENTRE LOS YESOS (T_{G3}) DE LAS FACIES KEUPER Y LAS DOLOMIAS DE LAS FACIES MUSCHELKALK. (T_{G2})